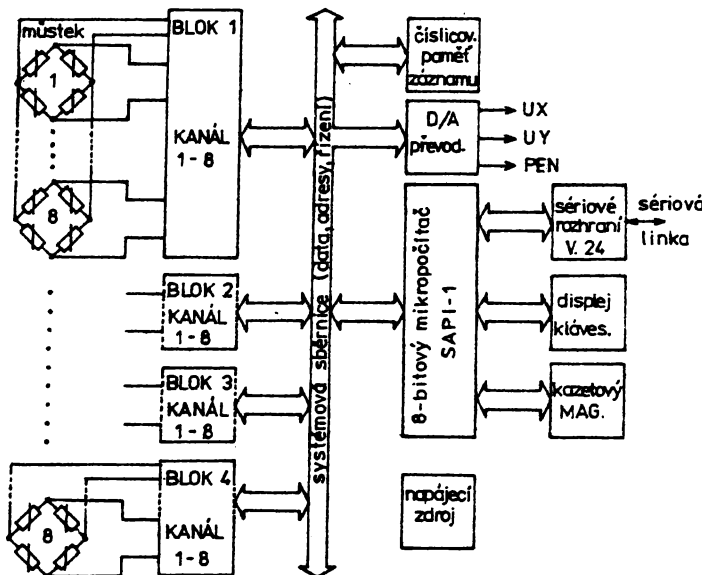


ZJIŠŤOVÁNÍ ZATÍŽENÍ A NAPJATOSTI VE TVÁŘENÍ POMOCÍ
AUTOMATICKÉHO VÍCEKANÁLOVÉHO TENZOMETRICKÉHO ANALYZÁTORU

Ing.Milan FOREJT,CSc FS VUT Brno, Doc.Ing.Pavel LEGÁT,CSc
Doc.Ing.Radimír VRBA,CSc, Prof.Ing.Kamil VRBA,CSc FEL VUT
Brno, Ing.Vladimír ZEZULA Šroubárna n.p.Ždánice

Na automatický vícekálový tenzometrický analyzátor je kladena celá řada požadavků: měření, digitalizace a záznam nízkoúrovňových signálů z 1 až 32 tenzometrických můstku, rozsah prodloužení 100 až $10^5 \mu\text{m}/\text{m}$, vzorkování signálů s nastavitelnou periodou 10 μs až 65,5ms, kompenzace základního rozvážení můstku, grafický výstup zaznamenaných průběhu a přenos digitalizovaných průběhů po sériové lince do připojitele zařízení, např. počítače.

Princip činnosti analyzátoru je zřejmý z blokového schématu na obr.1 . Celkem 32 vstupních kanálů je rozděleno do 4 samostatných měřících bloků. Každý blok obsahuje vlastní



Obr.1 Skupinové schéma 32-kanálového tenzometrického analyzátoru

programovatelný zdroj pro napájení 8 tenzometrických můstků. Výstupní napětí měřící diagonálny můstku je po přivedení do analyzátoru zesilováno a vzorkováno v kanálovém zesilovači s

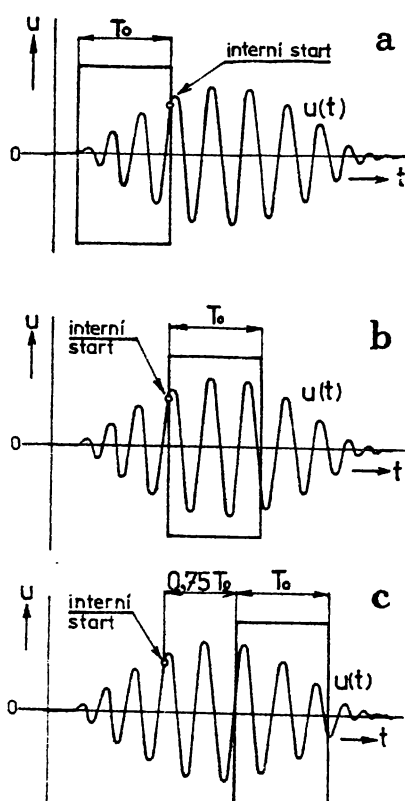
naprogramovaným konstantním zvětšením. Podle aktivovaného kanálu analogového přepínače je pak takto upravené napětí ještě zesíleno ve společném zesilovači s programovatelným zvětšením a převedeno v A/D převodníku na číslo ve dvojkovém kódě.

Napájecí napětí i výstupní signál z můstků byly zvoleny

jako stejnosměrné, aby bylo možné zpracovávat i rychlé přechodné děje bez přídavného zkreslení. Indukované rušivé napětí do přívodního vodiče se úspěšně potlačí symetrickým zpracováním napětí v kanálovém zesilovači. Vliv termoelektrických napětí se vy-

kompenzuje automatickou kalibraci měřícího kanálu před záznamem celého děje. Každý blok 8 tenzometrických můstků má společný zdroj stabilizovaného napájecího napětí které je voleno programově tak, aby nebyl překročen povolený proud žádného tenzometru.

Před měřením-záznamem je možné pomocí klávesnice a displeje interaktivně zadávat parametry



Obr.2 Příklady zpoždování startu záznamu
a) zpoždění $-T_0$
b) zpoždění 0
c) zpoždění $0,75 T_0$

měření. Kanály je možné hrubě vynulovat a jemně dokalibrovat. Tím se dá vykompenzovat počáteční stejnosměrná nevyváženosť měřených můstků. Podle zvoleného typu startu je zahájen záznam digitalizovaných vzorků do paměti. Paměť má kapacitu do 32 768 devítibitových slov. Při záznamu ze všech 32 můstků je pro každý kanál vyhrazeno 1024 slov paměti. Při záznamu pouze

z 1 můstku je k dispozici celá kapacita 32 768 slov pro jediný záznam.

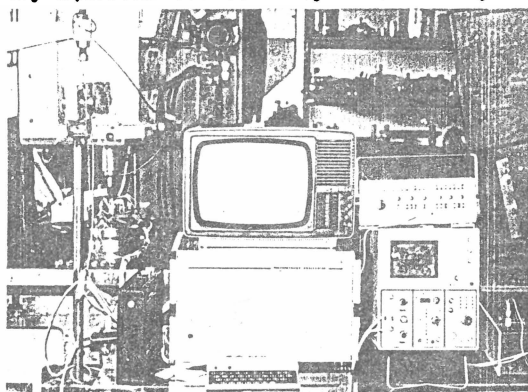
Impuls startu záznamu může být použit přímo nebo s časovým zpožděním. Nastavené zpoždění určuje, která část průběhu má být zaznamenána, jak je zřejmé z obr.2. Doba To je čas pro naplnění celé kapacity záznamové paměti s právě zvolenou periodou vzorkování. Zpoždění To znamená, že příchod startovacího impulsu okamžitě ukončí záznam do paměti, kde je uložen průběh předcházející startovacímu impulsu. Jde o tzv. záznam post mortem. Zpoždění $\Delta t=0$ se neprojeví na poloze synchronizačního impulsu. V paměti se uchová průběh začínající okamžikem startu a trvající dobu To. Zpoždění $\Delta t>0$, např. $\Delta t=0,75To$, znamená, že se v paměti uchová průběh který byl do paměti ukládán v době od $0,75To$ do $1,75To$ od příchodu startovacího impulsu.

Digitalizované průběhy lze po skončení záznamu zobrazit na grafickém displeji, na osciloskopu, vykreslit na souřadnicovém zapisovači, nebo vyslat sériovou linkou do počítače.

Metoda grafického výstupu má v 8-bitovém zobrazení 256 rozlišitelných bodů ve svislém směru a ve vodorovném směru je dána počtem vzorků v kanálu, tj. 1024 až 32 768 . Lineární interpolace je použita u grafického výstupu na displej TV přijímače s omezenou rozlišovací schopností obrazovky, danou sítí 320×240 bodů ovlastatelných programem. U výstupu na souřadnicový zapisovač buzený ze dvou 12-bitových rekonstrukčních převodníků čísla na napětí, by mohlo dojít při záznamu signálů s rychlými změnami k nežádoucím překmitům záznamového pata. Proto je sledována i derivace signálu.

Zjištování zatížení a napěťosti bylo prováděno na složné lisovnici v sestavě 4. tvářecí operace používané pro výrobu matic M16 na automatu TPM 12. Její uchytení v pracovním prostoru výstředníkového lisu LEPU 100 s vyhazovacím mechanizmem je zřejmé ze sestavy měření na obr.3 . Vnější povrch lisovnice i její objímky byl opatřen 20 odpovídajícími tenzometry typu HBM (3/120 LY 11, 2/120 KY 41) se střídavou orientací ve směru hlavních radiálních a tečných napětí, nalepenými obvyklou technologií dvousložkového lepidla X 60 a chráněné vrstvou BLM. Tenzometry byly zapojeny do poloviny mostu s kompenzačními

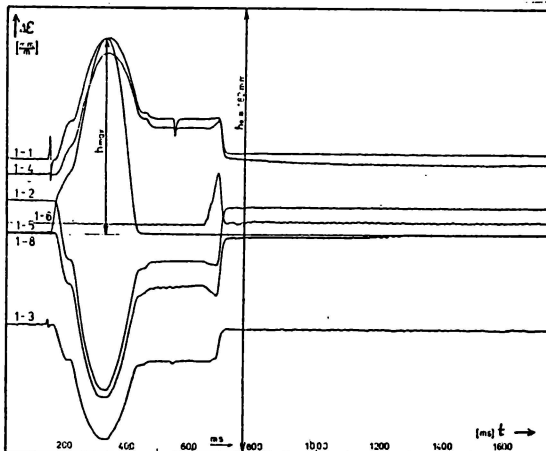
a připojeny do pěti kanálů v každém ze čtyř bloku analyzátora. Na 6. a 8. kanál v prvním bloku byly připojeny dynamometry k měření tvárcí a vyhazovací síly. Po seřízení sestavy



Obr.3

Sestava analyzátoru s kontrolními přístroji při měření na lisu LEPU 100

Po seřízení sestavy stroje a nástroje bylo provedeno interaktivní zadání vstupních parametrů měření pomocí nabídek vypisovaných v účelném pořadí na obrazovce a jejich potvrzení prostřednictvím membránové klávesnice. Při ověřovacím měření byl analyzátor doplněn testovacím generátorem a paměťovým osciloskopem. Výsledky měření byly zaznamenány na magnetickou pásku a graficky vykresleny souřadnicovým zapisovačem XY RECORDER 4105. Příklad grafického záznamu změřených závislostí $\Delta\varepsilon = f(t)$ v 1. bloku je na obr.4.



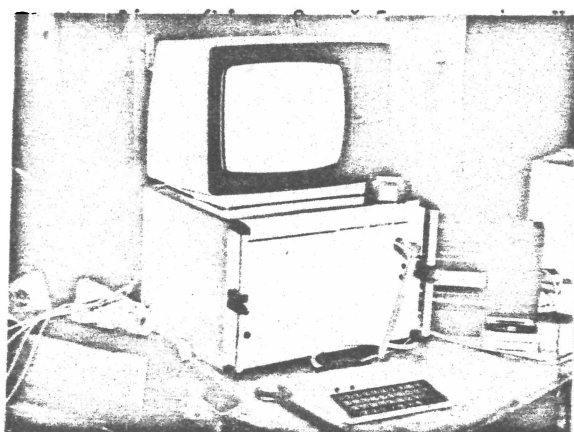
Obr.4

Příklad záznamu změřených závislostí $\Delta\varepsilon = f(t)$ na kanálech v 1. bloku analyzátoru

Vyhodnocení normálních a tečních přírůstků provozních napětí v měřených místech, pro celé záznamy, nebo jen pro maxima jejich amplitud je provedeno z platného vztahu Hookova zákona $\Delta \sigma = E \cdot \Delta \varepsilon$, kde $\Delta \varepsilon = n \cdot z \cdot \frac{1}{10^3} \cdot \frac{h}{h_0}$ je změřená poměrná deformace; n je počet aktivních tenzometrů v mostu; z je zesílení (nastavená citlivost) analýzátoru v $\frac{\text{mm}}{\text{mm}}$; h je cejchovní výška záznamu v [mm] a h₀ je amplituda záznamu v [mm]. Tvářecí a vyhazovací síly byly vyhodnoceny z rovnice cejchovních regresních přímek ve tvaru $F = K \cdot \Delta \varepsilon + F_0$, [kN], kde K je konstanta úměrnosti a F₀ je úsek na ose F. Přehled vyhodnocených napětí a tvářecích (vyhazovacích) sil je v následující tabulce.

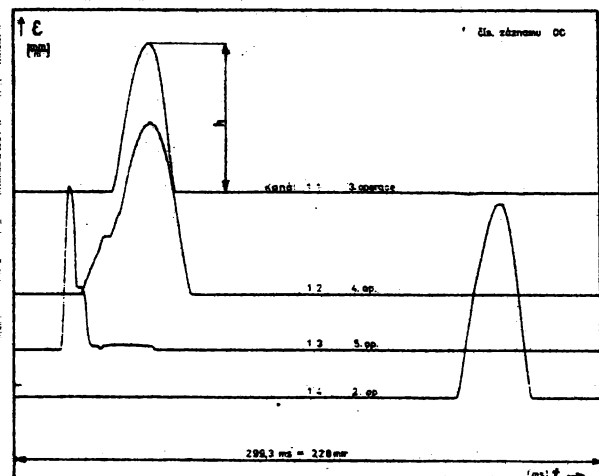
Kanál	Měřicí tenzometr	Zesílení z	n	<u>h_{max}</u>	E		<u>F₀</u>	K	F
-	-	mm/m	-	mm	N/mm ²	N/mm ²	kN	kN	kN
1-1	(22)	1,29	1	50,1		$\Delta \sigma_r = -73,1$	-	-	-
1-2	(23)	1,29	1	77,0	$2,06 \cdot 10^5$	$\Delta \sigma_p = +112,4$	-	-	-
1-3	(12)	0,84	1	46,5		$\Delta \sigma_p = +44,2$	-	-	-
1-4	(4)	1,29	1	50,0	$4,9 \cdot 10^5$	$\Delta \sigma_r = -173,7$	-	-	-
1-5	(1)	3,04	1	67,5		$\Delta \sigma_p = +552,5$	-	-	-
1-6	F _{výh}	1,29	2	21,3	-	-	1,2	88000	25,4
1-8	F _{tvář.}	12,82	2	80,5	-	-	5,08	64280	722,9

Zjištování tvářecích sil na víceoperačním automatu MS 3 při výrobě matic M 10 bylo prováděno cestou měření elasticích deformací opěrných válečků-dynamometrů vestavěných do pořádání měřicího



Obr.5
Měřicí pracoviště automatu MS 3 s analýzátorem

pracoviště s analyzátorom je na obr.5. Pôvodné stínene vo-
diče boli pripojené konektorm FRB na 1. blok. Po seřízení
automatu podle běžných svykošť výroby byly interaktivně
nastaveny vstupní parametry, které po ověřovacím měření a
kontrole grafických záznamů byly upřesněny. Výsledky měření
pro 4 konfigurace (zpracovávané oceli) pod označením 00, 11,
22 a 33, byly schrazeny na displeji a po jejich kontrole po-
stupně v rozsahu 32 kileslov paměti analyzátoru zaznamenány
na magnetickou pásku magnetofonem K 10. V laboratoři pak byly
zpětně nahrány do analyzátoru a vykresleny na XY zapisovači.
Příklad záznamu měření 00 je ve zmenšeném měřítku je na obr.6.



Obr.6

Záznam závislosti
 $E = f(t)$ na kaná-
lech bloku 1
(měření 00)

Vyhodnocením byla získána maxima tvářecích sil ($F_2 = 160,2$
 $F_3 = 102,7$; $F_4 = 339,2$ a $F_5 = 56,2$ kN). Celé průběhy lze vyhodnotit
 pomocí počítače, např. PP Ol. Pro inženýrskou praxi jsou vě-
 le hodnoty největších tvářecích sil a maxim napětí důležité i
 znalosti o jejich rozdělení v čase. Z obr.6 je např. vidět
 nevhodné současně působení velkých tvářecích sil ve 3. a 4.
 operaci. PMI jejich časovém posunu lze podstatně snížit za-
 tižení mechanizmu automatu MS 3.

- [1] LEGUT, P.-VRBA, R.-VRBA, K.-PROVAZNÍK, F.-FOREJT, M.: Víceka-
 nálový tenzometrický analyzátor mechanických signálů.
 Návod k obsluze, Uživatelská příručka, MON Servis Brno 1988
- [2] FOREJT, M.: Měření tvářecích sil na víceoperacním automatu
 MS 3 při výrobě matic M 10. FS VUT Brno, prosinec 1988